

Maria João Valente
António Faustino Carvalho
(eds.)



ATAS XI

ENCONTRO DE ARQUEOLOGIA
DO SUDOESTE PENINSULAR

ENCUENTRO DE ARQUEOLOGIA
DEL SUROESTE PENINSULAR

21-23 OUT
2021 LOULÉ



Maria João Valente
António Faustino Carvalho
(eds.)



ATAS XI

ENCONTRO DE ARQUEOLOGIA
DO SUDOESTE PENINSULAR

ENCUENTRO DE ARQUEOLOGIA
DEL SUROESTE PENINSULAR

21-23 OUT
2021 LOULÉ



Ficha Técnica

Título

PROMONTORIA DIGITAL 1.

Atas do XI Encontro de Arqueologia do Sudoeste Peninsular (Loulé, 22-23 de Outubro de 2021)

Actas del XI Encuentro de Arqueología del Suroeste Peninsular (Loulé, 22-23 de Octubre del 2021)

Edição

UALG — Universidade do Algarve

CEAACP — Centro de Estudos de Arqueologia, Artes e Ciências do Património

Coordenação Editorial

Maria João Valente (Universidade do Algarve/CEAACP/UNIARQ)

António Faustino Carvalho (Universidade do Algarve/CEAACP)

Layout e maquetagem

Rui Roberto de Almeida

ISBN

978-989-9127-17-3 (volume digital)

DOI

<https://doi.org/10.34623/9pxv-qz79>

Handle

<http://hdl.handle.net/10400.1/18644>

Doi do artigo: <https://doi.org/10.34623/c8ym-gx81>

Organização do XI EASP - Loulé

Comissão Organizadora

Alexandra Pires (Câmara Municipal de Loulé)

Ana Rosa Sousa (Câmara Municipal de Loulé)

António Faustino Carvalho (Universidade do Algarve/CEAACP)

Cristina Tété Gracia (Direção-Regional de Cultura do Algarve/CEAACP)

Javier Jiménez Ávila (Junta de Extremadura)

Manuela de Deus (Direção-Regional de Cultura do Alentejo)

Maria João Valente (Universidade do Algarve/CEAACP)

Miguel Rego (Direção-Regional de Cultura do Alentejo)

Rui Roberto de Almeida (Câmara Municipal de Loulé)

Susana Gómez Martínez (Universidade de Évora/Campo Arqueológico de Mértola/CEAACP)

Comissão Científica

Catarina Viegas (Universidade de Lisboa/UNIARQ)

Helena Catarino (Universidade de Coimbra/CEAACP)

João Pedro Bernardes (Universidade do Algarve/CEAACP)

José Luis Escacena (Universidad de Sevilla)

Juan Aurelio Pérez Macías (Universidad de Huelva)

Leonor Rocha (Universidade de Évora/CEAACP)

Macarena Bustamante (Universidad de Granada)

María Lazarich (Universidad de Cádiz)

Parceiros

Câmara Municipal de Loulé (Museu Municipal de Loulé/Loulé, Cidade Educadora/Arquivo Municipal de Loulé)

CEAACP — Centro de Estudos de Arqueologia, Artes e Ciências do Património

UALG — Universidade do Algarve

DRCAlg — Direção-Regional de Cultura do Algarve

DRCAlt — Direção-Regional de Cultura do Alentejo

UHU — Universidad de Huelva

FCT — Fundação para a Ciência e Tecnologia

Copyright textos e imagens ©, 2024, os autores

Os autores são responsáveis pelos seus originais, não sendo os editores responsáveis por quaisquer elementos que, de alguma forma, possam prejudicar terceiros.

Este trabalho é financiado por fundos nacionais através da FCT – Fundação para a Ciência e a Tecnologia, I.P., no âmbito do projeto estratégico do Centro de Estudos em Arqueologia, Artes e Ciências do Património – CEAACP [UIDB/00281/2020].

Índice

- 9 Apresentação
Maria João Valente, António Faustino Carvalho
- 11 Palavras prévias
Dália Paulo
- 13 *In memoriam* Francisco Gómez Toscano
Cristina Tété Garcia, Jesus de Haro Ordoñez, Miguel Rego, Juan Campos Carrasco

Pré-História

- 19 La Prehistoria del Suroeste de la Península Ibérica desde la perspectiva del análisis de los cambios del nivel del mar durante la última glaciación y la primera mitad del holoceno
Juan Carlos Mejías-García, Pablo Fraile-Jurado, Alfonso Alday-Ruiz
- 35 Origen del simbolismo en las sociedades del Paleolítico del SO de la Península Ibérica. El desarrollo artístico durante el solutrense
Patricia Domínguez García
- 43 La Cueva Chica de Santiago (Cazalla de la Sierra, Sevilla) como cámara funeraria neolítica
José Luis Escacena Carrasco
- 67 La cultura de los silos en el tránsito del IV al III milenio a.n.e. mediante el estudio de los materiales líticos de los yacimientos de “El Trobal” (Jerez de la Frontera y “La Esparragosa” (Chiclana de la Frontera)
Raquel Martínez Romero
- 91 LiDAR hypsometry in the Chalcolithic territory of La Zarcita (Santa Barbara de Casa, Huelva, Spain)
Francisco Sánchez Díaz, Mark A. Hunt Ortiz
- 105 Técnicas de análisis de autoría aplicadas a las manifestaciones gráficas prehistóricas
Alba Salceda Pino
- 117 Las aves pintadas del Tajo de las Figuras. Testimonios del ecosistema y del mundo simbólico de la Prehistoria reciente en la Provincia de Cádiz
María Lazarich González, Antonio Ramos-Gil, Juan Luis González-Pérez, Alba Salceda Pino, Daniel Pérez-Romero
- 133 Indicios de marcadores solares durante la Prehistoria
Antonio Ramos Gil
- 147 Paisajes megalíticos de la cuenca media del río Guadiana: arquitecturas y formas de implantación territorial
Esther Navajo Samaniego
- 157 Los Dólmenes de Rocalero (Zalamea la Real, Huelva). Documentación, conservación y valorización social
José Antonio Linares Catela, Coronada Mora Molina
- 171 La necrópolis megalítica de la Canchorrera (Tarifa, Cádiz) y su conexión con las cavidades con arte rupestre de la Sierra de la Plata
Vicente Castañeda Fernández, María Lazarich González, Antonio Ramos-Gil, Mercedes Versaci, Antonio Ruiz-Trujillo, Alfredo Fernández-Enríquez, Yolanda Costela Muñoz, Francisco Torres Abril

- 183 Manifestações tumulares pré-históricas das Caldas de Monchique (Algarve): primeiros resultados das escavações de 2021
António Faustino Carvalho, Fabián Cuesta-Gómez, Fábio Capela
- 197 Megalitismo da Serra de Monchique: resultados dos trabalhos de (re)localização de sepulturas sob mamoa
Fábio Capela, Ricardo Rato, António Faustino Carvalho
- 215 Usos e (re)usos de monumentos megalíticos: o caso da Anta da Murteira de Cima (Torre de Coelheiros, Évora)
Leonor Rocha
- 225 Achados isolados das antigas sociedades camponesas em São Brás de Alportel (distrito de Faro): testemunhos da ocupação pré-histórica do território
Angelina Pereira, António Faustino Carvalho
- 233 Aportación al estudio de los recipientes cilíndricos rituales de la Prehistoria reciente del ámbito atlántico-mediterráneo: los hallazgos de Portugal
María Narváez-Cabeza de Vaca

Proto-História

- 251 O sítio do Monte da Mata Bodes 2 (Beja) - um exemplo de diacronia de um provável “campo de hoyos”
Rui Monge Soares, Linda Melo, Pedro Valério, António Monge Soares
- 267 Una nueva necrópolis de cistas en el paraje de La Mina (San Bartolomé de la Torre, Huelva)
Guillermo Duclos de Navascués
- 277 Nuevos datos sobre el asentamiento del Cerro de San Cristóbal (Almonaster la Real, Huelva)
Eduardo Romero Bomba, Timoteo Rivera
- 285 En torno a las bases cronológicas y culturales del Horizonte Formativo del Bronce Final en Huelva
Juan M. Garrido Anguita, José C. Martín de la Cruz
- 295 Cucharas para el ritual de la apertura de la boca en Tarteso
Álvaro Gómez Peña, Luis Miguel Carranza Peco
- 313 La Monacilla. Un taller metalúrgico entre el siglo VI-V a.C. en la Ría de Huelva
Marcos García Fernández, Pedro Campos Jara, Juan Aurelio Pérez Macías
- 335 Un *thymiaterion* zoomorfo de la Sierra de Aroche (Huelva, España) y la localización de un nuevo poblado del Hierro
Nieves Medina Rosales, Javier Bermejo Meléndez

Época Romana

- 347 Las placas cerámicas decoradas tardoantiguas en el ámbito del suroeste peninsular
José Ildefonso Ruiz Cecilia, Julio Miguel Román Punzón
- 361 A *terra sigillata* da zona termal da Boca do Rio: subsídio para o estudo da evolução cronológica do sítio
Ana Martins, João Pedro Bernardes
- 377 El primer siglo de la presencia romana en el Bajo Guadalquivir. Sistematización de los contextos de ocupación
Francisco José Blanco Arcos, Francisco José García Vargas, Enrique García Vargas
- 395 As termas romanas de *Ebora Liberalitas Ivlia* – campanha arqueológica de 2019/2020
Ricardo de Morais Sarmiento, José Rui Santos, Eva Basílio, Rosária Leal
- 407 Materiales cerámicos del abandono de un pozo romano en la fábrica de salazones de la c/ Francisco Barreto (Faro, Portugal)
Alba A. Rodríguez Nóvoa, Ricardo Costeira da Silva, Adolfo Fernández Fernández, Paulo Botelho, Fernando P. Santos

- 423 Evidências da ocupação romana no centro de Portimão: o contexto funerário do Jardim 1º de Dezembro
Vera Teixeira de Freitas, David Gonçalves, João Tereso, Filipe Vaz

Idade Média

- 439 Análisis de las estructuras emergentes de la ermita de San Mamés en Rosal de la Frontera (Huelva)
Omar Romero de la Osa Fernández, María Carretero Fernández
- 453 Arquitecturas en el Castillo de Gibraleón (Huelva): evidencias arqueológicas, materiales y técnicas constructivas
Olga Guerrero Chamero, Juan Aurelio Pérez Macías, Pablo Díaz Rubio
- 473 Sítio arqueológico do Cerro do Castelo de Alferce (Monchique): resultados preliminares do projeto de investigação em curso
Fábio Capela, Susana Gómez Martínez, Maria João Valente, Humberto Veríssimo, Fábio Jaulino, Ricardo Rato, Andreia Campôa
- 489 Entre el Tajo y el Duero: torres del homenaje cristianas o fortificaciones independientes andaluzés. Características técnicas edilicias y una propuesta cronológica
Antonio Malalana Ureña, Jorge Morín de Pablos
- 509 El Cerro del Castillo de Capilla (Badajoz). Arqueología de la ocupación andalusí
Diego Sanabria Murillo
- 523 A cerâmica no Garb al-Andalus: actividades artesanais, de transformação e pesca
Jaqueline Covaneiro, Jacinta Bugalhão, Helena Catarino, Sandra Cavaco, Isabel Cristina Fernandes, Ana Sofia Gomes, Susana Gómez Martínez, Maria José Gonçalves, Isabel Inácio, Marco Liberato, Gonçalo Lopes, Constança dos Santos
- 539 As cerâmicas em QasTallâ Darrâj: estudo de materiais de um silo no Largo da Fortaleza de Cacela Velha
Camila Silveira, Susana Gómez Martínez, Cristina Tété Garcia, Patrícia Dores, Maria João Valente

Idade Moderna

- 553 Arqueologia da arquitetura aplicada à Fortaleza de Santa Catarina de Ribamar (Portimão): resultados preliminares
Bruna Ramalho Galamba
- 563 Convento de Nossa Senhora do Carmo de Moura, dados preliminares das sondagens arqueológicas de diagnóstico
Vanessa Gaspar, Rute Silva, Patrícia Simão
- 579 Novos achados arqueológicos no centro histórico de Alvalade do Sado (Santiago de Cacém)
Lidia Vírseda, Patrícia Simão, Filipa Santos
- 593 Resultados dos trabalhos arqueológicos: Sondagens A, B, C e G (Convento da Graça, Tavira)
Sandra Cavaco, Jaqueline Covaneiro
- 609 A cerâmica fosca, a vidrada e a faiança de Lisboa durante a Época Moderna
Eva Leitão, Luísa Batalha, Manuel Francisco Pereira, Guilherme Cardoso

Zooarqueologia

- 623 El *Equus ferus caballus* del suroeste peninsular ibérico
Mercedes de Caso Bernal
- 635 A fauna malacológica do vicus *maritimus* do Cerro da Vila (Vilamoura, Loulé)
Ana Pratas, Filipe Henriques
- 649 A alimentação no Garb al-Andalus: resultados preliminares das escavações no Castelo do Alferce, Monchique
Humberto Veríssimo, Fabio Capela, Daniela Cabral, Maria João Valente

- 659 Exploração de moluscos no Garb al-Andalus: dados da Rua da Sé (Silves, Algarve)
Daniela Cabral, Humberto Veríssimo, Carlos Oliveira, Miguel Cipriano Costa, Maria José Gonçalves, Maria João Valente
- 669 Study of the malacofauna found in the main hall of the Islamic palace of Silves Castle (Algarve, Portugal)
Solange Silva, Pedro M. Callapez, Rosa Varela Gomes
- 679 Restos faunísticos do Parque de Festas (Tavira): da Idade do Ferro à Época Moderna
Jaquelina Covaneiro, Sandra Cavaco

*Estudos
Patrimoniais*

- 699 Sondagens arqueológicas e perfurações geoarqueológicas no Cineteatro António Pinheiro (Tavira)
Daniel Barragán Mallofret, Ana Gonçalves, Manuel Pica, Jaquelina Covaneiro, Sandra Cavaco, Celso Candeias
- 713 El patrimonio arqueológico de Huelva en la documentación de D. Carlos Cerdán Márquez
Juan Aurelio Pérez Macías, Enrique C. Martín Rodríguez
- 731 La percepción social como punto de partida para la musealización del patrimonio arqueológico. Una propuesta para Huelva
Yolanda González-Campos Baeza
- 745 A já conhecida problemática dos “cacos”: o assunto recorrente das reservas de arqueologia
Lígia Rafael
- 759 Percepción de las técnicas experimentales en el registro arqueológico orgánico
Yolanda González-Campos Baeza, David Villalón Torres, M^a José del Pino Espejo, Esteban García-Viñas, Eloísa Bernáldez Sánchez

Sondagens arqueológicas e perfurações geoarqueológicas no Cineteatro António Pinheiro (Tavira)

Daniel Barragán

Geoarqueólogo independente / danielbarraganmallofret@gmail.com

Ana Gonçalves

ARKHAIOS Lda. / arkhaivos@sapo.pt

Manuel Pica

ARKHAIOS Lda. / arkhaivos@sapo.pt

Jaquelina Covaneiro

Câmara Municipal de Tavira / jcovaneiro@cm-tavira.pt

Sandra Cavaco

Câmara Municipal de Tavira / scavaco@cm-tavira.pt

Celso Candeias

Câmara Municipal de Tavira / ccandeias@cm-tavira.pt

Resumo

No âmbito da reabilitação do Cineteatro António Pinheiro foram realizadas sondagens arqueológicas de diagnóstico, uma vez que o edificado se localiza em área de expansão urbana dos séculos XV e XVI, e dada a identificação de vestígios arqueológicos nas suas imediações. Numa segunda fase dos trabalhos foram efetuados trabalhos de prospeção com perfuração geoarqueológica.

Palavras-chave

Arqueologia, sondagens arqueológicas, Geoarqueologia, perfurações.

Abstract

As part of the rehabilitation of the Cineteatro António Pinheiro, archaeological surveys were carried out, since the building is located in an area of urban expansion from the 15th and 16th centuries, and because of the identification of archaeological remains in its surroundings. In a second phase, prospection works with geoarchaeological drillings were also accomplished.

Keywords

Archaeology, archaeological surveys, Geoarchaeology, drillings.

1. Introdução

A cidade de Tavira situa-se junto à foz do rio Gilão (Fig. 1), ao abrigo da restinga que protege a Ria Formosa de Faro até Cacela Velha. Enquanto cidade litoral, com uma implantação única na paisagem, foi-lhe possível controlar o acesso às rotas marítimas e exercer um amplo domínio visual sobre as chegadas por mar.

A ocupação mais antiga, conhecida até ao momento, desenvolveu-se na colina de Santa Maria e deverá remontar à Idade do Bronze Final, tendo registado uma ocupação significativa no decurso da primeira metade do 1.º milénio a.C. As estruturas e espólios revelam relações com o mundo mediterrânico e oriental, o que leva a considerar que esta ocupação está relacionada com a colonização fenícia ocidental (Arruda, Covaneiro e Cavaco, 2008). Na segunda metade do 1.º milénio a.C., a crer pelos vestígios detetados, Tavira mantinha ainda uma enorme vitalidade, mantendo-se integrada em rotas comerciais inter-regionais, pelo menos até ao século III a.C. (Candeias, 2016).

Até ao momento não foram identificados níveis romanos na atual cidade de Tavira. Aparentemente, ter-se-á registado uma deslocação populacional para um local situado a sul da povoação de Luz de Tavira, onde terá sido fundada a cidade romana de *Balsa*.

Os dados disponíveis indiciam o regresso de populações à colina de Santa Maria, vindas da antiga *Balsa*, entre os séculos VI e VIII (Mantas, 2003, p. 93). Contudo, os dados das intervenções arqueológicas realizadas em Tavira não comprovam, até ao momento, esta hipótese.



Figura 1 – Localização de Tavira na Península Ibérica.

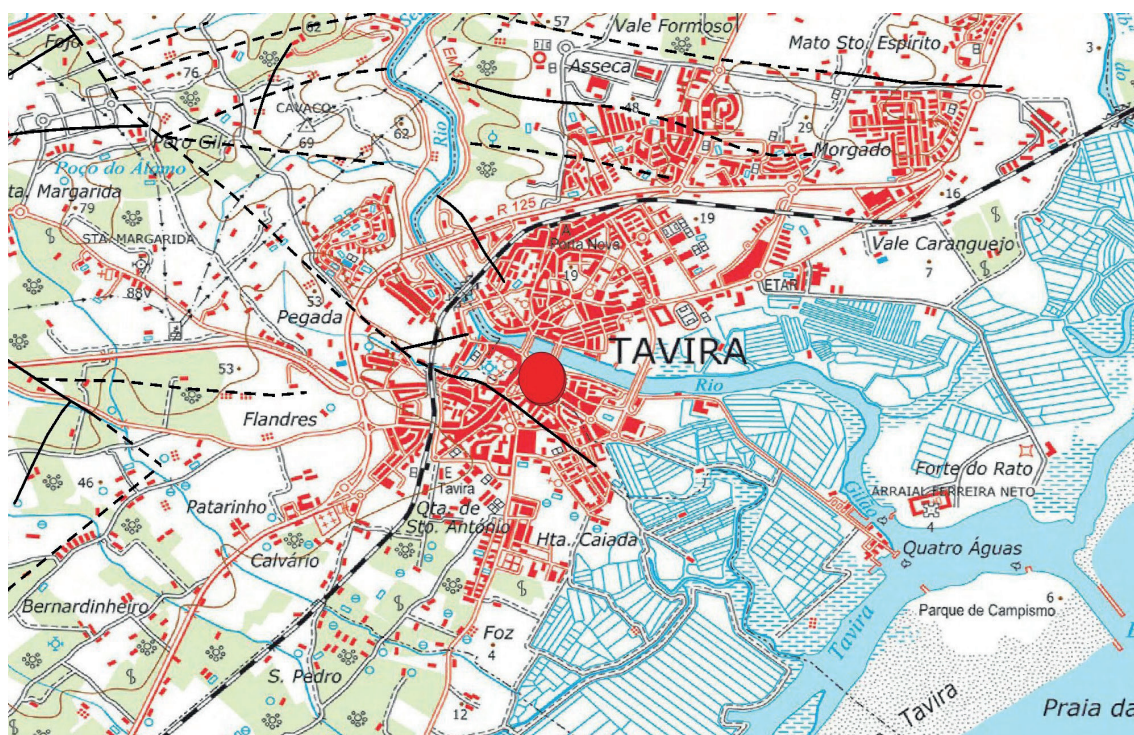


Figura 2 – Localização do Cineteatro António Pinheiro na cartografia topográfica.

Os primeiros indícios da ocupação da colina de Santa Maria em época islâmica remontam ao século XI. No decurso dessa ocupação as características do povoado sofrem transformações, passando de uma pequena *qarya* (alcaria), protegida por um pequeno *hisn*, a *mādina* (cidade), em meados do século XII.

Após a conquista cristã, em 1242, a cidade regista um contínuo crescimento urbano, verificando-se que em finais do século XIII esta ocuparia uma área muralhada de cerca de cinco hectares. No decurso dos séculos XIV, XV e XVI, a intensa atividade comercial e marítima registada pelo porto de Tavira traduz-se num acentuado desenvolvimento económico, situação que continua a potenciar o seu crescimento urbano.

2. O Projeto de Reabilitação

O Cineteatro António Pinheiro situa-se na Rua D. Marcelino Franco, n.º 10 a 16, tendo sido edificado na década de 60 do século XX, no local onde anteriormente se erguia o Teatro Popular, edifício da década de 20 do século XX, de linguagem clássica no exterior e inspiração Arte Nova no interior.

A degradação do edifício levou a Câmara Municipal de Tavira a concretizar um projeto para a sua reabilitação.

Segundo os autores do projeto de reabilitação, o projeto do Cineteatro António Pinheiro consistiu na (quase) demolição integral do Teatro Popular, sendo que mesmo após a *análise das peças do projecto de 1962, é pouco perceptível o que permaneceu do edifício original e [o] que (...) ainda hoje integra a sua estrutura.*

A equipa projetista considerou que as paredes exteriores estruturais pertenceriam ao Teatro Popular, uma vez que a espessura das paredes, que ronda os 60 cm, é característica de alvenaria de pedra antiga, tendo também constatado que a métrica de vãos do Cineteatro António Pinheiro é idêntica à métrica do Teatro Popular. Ainda assim, pouco terá restado da fachada original, e poucas garantias se têm da sua integridade estrutural.



Figura 3 – Antigo Teatro Popular. © Família Andrade.

Constituído por dois volumes (um que abriga a plateia e outro que abriga a caixa de palco), o edifício em intervenção apresentava uma linguagem arquitetónica da década de 60 do século XX, mantendo ainda alguns traços clássicos do edifício original, sendo que no exterior eram visíveis indícios de degradação e alguma fissuração estrutural.

O projeto de reabilitação pretendeu resolver as questões relacionadas com a funcionalidade e a segurança do edifício, tornando-o polivalente, versátil e multifuncional. De modo a dotar o edifício das condições técnicas necessárias à exibição de diversos tipos de espetáculos, este foi reformulado, tendo a sua volumetria sido reconfigurada.

3. Trabalhos arqueológicos

Uma vez que o edifício se localiza em área de expansão urbana dos séculos XV e XVI, e dada a identificação de vestígios arqueológicos nas imediações, foram preconizadas, pela Direção Regional de Cultura do Algarve, nove sondagens arqueológicas de diagnóstico (Fig. 4).

Assim, no que respeita aos trabalhos arqueológicos, procedeu-se à abertura de forma mecânica nas sondagens 1 e 3 e de forma mecânica e manual na sondagem 2. Nas cinco sondagens de diagnóstico, entretanto já efetuadas pelo empreiteiro, junto às fundações do edifício (Sondagens 4 a 8), foi realizada a sua escavação e limpeza, bem como o registo gráfico e fotográfico. Na sondagem 9 a escavação foi realizada de forma manual.

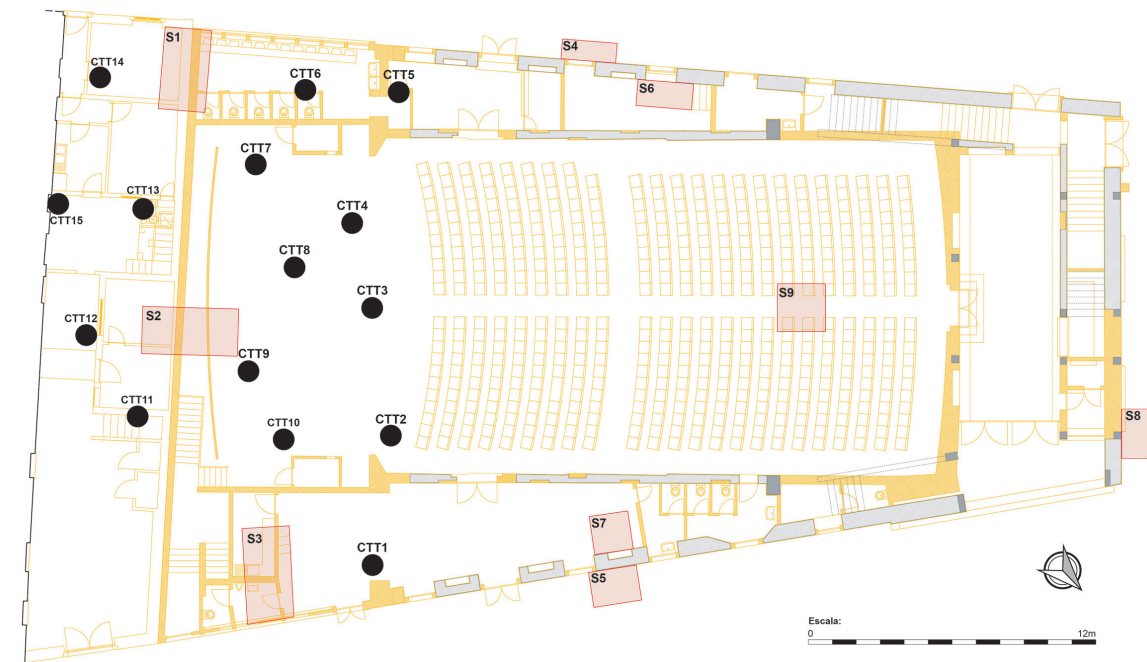


Figura 4 - Planta do Cineteatro António Pinheiro com localização das sondagens arqueológicas e das perfurações geoarqueológicas.

Os trabalhos efetuados nas sondagens 1 e 3 revelaram a presença de diversos níveis de aterro, pouco compactados, constituídos por sedimento de diversa granulometria com inclusão de pedra, areia, argamassa, telha, tijolo e cal. Em ambas as sondagens estes contextos de aterro encostavam a estruturas em alvenaria de pedra passíveis de pertencerem ao Cineteatro António Pinheiro [18], [19] e [25] e ao Teatro Popular [28].

Na sondagem 2 destacamos a estrutura murária [12], que pelas suas características morfo-tipológicas e dimensões (Fig. 5) integraria as fundações do antigo Teatro Popular. Aquando da construção desta estrutura ocorre o corte [14] de realidades anteriores à edificação do Teatro Popular. No entanto e, de momento, não é possível aferir com segurança um *terminus* ante quem para esta realidade. Concorre para esta situação a reduzida presença de materiais cerâmicos recolhidos, quer nos estratos de aterro, quer nos estratos de deposição primária identificados.

Nas sondagens 4 e 6 (Fig. 6) identificou-se o que julgamos ser o embasamento do Teatro Popular, correlativo às estruturas [43] e [45], com uma largura total aproximada de 1.40m.

Na sondagem 4 regista-se a presença de contextos [22] e [32] e de estruturas de circulação [20] e [21], inseríveis em cronologias de Época Contemporânea, cortadas pelas valas [23] e [24], destinadas à implantação de infraestruturas elétricas. Sob esta ocupação identificaram-se contextos arqueológicos prévios à construção do Teatro Popular, dado que são cortados pela sua vala de fundação [53] (Fig. 6). Entre eles destacamos dois níveis de circulação [52] e [95], realizados em pedra calcária e telha, respetivamente.

Os trabalhos arqueológicos realizados na sondagem 5 permitiram observar o modo de reaproveitamento do embasamento do Teatro Popular [34] para o assentamento de uma das paredes exteriores do Cineteatro António Pinheiro. Observamos, igualmente, a afetação dessa estrutura pela abertura de valas para a instalação de infraestruturas (águas pluviais e electricidade).

Relativamente à sondagem 6 (Fig. 7), os trabalhos confirmam a presença de perturbações resultantes da abertura de valas para instalação de infraestruturas. De igual modo, confirmamos a existência de contextos prévios à fundação do Teatro Popular, uma vez que a vala de fundação [57] do embasamento [43] dessa estrutura corta os contextos [94], [115], [116] e [117]. Destes, destacamos uma estrutura [115], de forma aproximadamente circular, definida exteriormente e na base por tijolos que apresentavam marcas de fogo e contendo no seu interior carvões (Fig. 7), pelo que julgamos poder tratar-se de uma estrutura de combustão.



Figura 5 - Sondagem 2. Vista da fundação [12], em patamar, do Teatro Popular.



Figura 6 - Sondagem 4. Plano final da escavação, com a fundação [45], em patamar, do Teatro Popular.



Figura 7 - Sondagem 6. Possível estrutura de combustão [115].

Na sondagem 7 foi identificada uma estrutura murária [99] de grandes dimensões (largura máxima visível: 1.40m), que assenta na estrutura [61]. Tendo em conta este elemento e a presença de um muro na planta do Teatro Popular, bem como a construção em patamar das fundações deste edifício, consideramos que podemos estar perante o embasamento dessa estrutura murária.

A escavação efetuada na sondagem 8 possibilitou constatar a afetação do espaço em Época Contemporânea, observável, quer nas infraestruturas pluviais [109] e [124], quer em estruturas murárias recentes [104]. As características construtivas do muro [105] permitem considerar estarmos em presença do embasamento do antigo Teatro Popular. Por último, os materiais arqueológicos exumados são escassos, inseríveis em cronologias de época contemporânea.

A escavação da sondagem 9 permitiu identificar a presença de estratos sedimentares de granulometria e compactação diversa com coloração castanha [131] ou castanha acinzentada [133]. Estes contextos apresentam inclusão de pedra, telha, nódulos de argamassa de cal, carvão e cal, sendo escassos os fragmentos cerâmicos. As características destes estratos indiciam estarmos em presença de níveis de aterro, presumivelmente realizados num mesmo momento, não sendo possível determinar a ocasião em que ocorreram.

Após a análise dos elementos procedentes dos trabalhos arqueológicos, e no que respeita ao faseamento de ocupação do local, as infraestruturas identificadas (águas pluviais e residuais, eletricidade, etc.), passíveis de ser enquadradas em cronologias de meados/finais do século XX, correspondem à fase mais recente de ocupação do espaço (4.ª fase).

A construção do Cineteatro António Pinheiro diz respeito à 3.ª fase de ocupação e compreende, maioritariamente, o edificado existente ao momento da intervenção arqueológica. Os trabalhos arqueológicos permitiram constatar que esse edifício aproveitou na íntegra as fundações do Teatro Popular para a sua edificação.

A construção do Teatro Popular corresponde à 2.ª fase de ocupação do espaço, à qual podemos associar um conjunto de estruturas murárias, realizadas em alvenaria de pedra e argamassa de cal. Estas estruturas caracterizam-se pela sua dimensão e solidez, sendo de destacar que, no decurso da intervenção, não foi possível alcançar a sua base fundacional, devido à presença do lençol freático.

A 1.ª fase de ocupação do espaço engloba todo um conjunto de contextos anteriores à edificação do Teatro Popular, nos inícios do século XX. Uma vez que os materiais cerâmicos resultantes da intervenção ainda não foram alvo de estudo, a informação obtida a partir da análise das cerâmicas é escassa. Este facto, aliado à reduzida área intervencionada, não possibilita aferir com maior precisão a cronologia ocupacional do espaço alvo da intervenção.

4. Trabalhos de prospeção com perfurações geoarqueológicas

As 15 perfurações geoarqueológicas realizadas, denominadas CTT-1 a 15, permitiram, a partir da análise da estratigrafia obtida, reconstruir o processo de assoreamento desta zona do paleo-estuário do rio Gilão, bem como obter dados da ocupação humana do terreno em estudo. Foram documentadas 8 fases estratigráficas, as quais vamos agora descrever tomando como referência (estratigrafia-tipo) a perfuração CTT-8, localizada aproximadamente no centro da área em estudo (*vide* Fig. 4).

4.1. Estratigrafia-tipo

4.1.1. Fase 1

A estratigrafia obtida começa, entre 8 e 7.85 m de profundidade (-5.23 a -5.08 em relação ao nível médio das águas do mar), com um estrato de areia fina a média, de cor castanha ligeiramente amarelada, com uma grande quantidade de fragmentos de conchas de moluscos marinhos de tamanho grande, entre os quais abundam os bivalves da família *Ostreidae* (família das ostras) (Fig. 8).

4.1.2. Fase 2

De 7.85 a 5.36 m de profundidade (-5.08 a -2.59 n.m.a.m.) documenta-se uma sedimentação mais fina, composta por areia fina siltosa de cor castanha clara acinzentada, com abundantes fragmentos pequenos e médios de conchas de moluscos marinhos, entre os quais abundam os bivalves da família *Cardiidae* (família dos berbigões) e da família das ostras. Nesta fase estratigráfica, composta por vários estratos, registam-se várias camadas, até 0.18 m de potência, de cor cinzenta escura e preta, com abundantes restos vegetais carbonizados (Fig. 9).



Figura 8 – Sedimentos da Fase 1.



Figura 9 – Sedimentos da transição entre a Fase 2 (à direita) e a Fase 3 (à esquerda).

4.1.3. Fase 3

De 5.36 a 4.2 m de profundidade (-2.59 a -1.43 n.m.a.m.), regista-se uma sedimentação ainda mais fina, composta por silte arenoso de cor cinzenta escura quase preta, com uma intercalação de silte argiloso entre 4.64 e 4.46 m de profundidade (-1.87 a -1.69 n.m.a.m.). Nesta fase estratigráfica os fragmentos de conchas de moluscos marinhos são também numerosos, mas estão mais isolados, sobretudo na intercalação argilosa. Abundam o bivalve *Scrobicularia plana* e os bivalves da família *Cardiidae*, entre os quais se encontram os berbigões (Figs. 10 e 11).



Figura 10 – Sedimentos da Fase 3.



Figura 11 – Valva de *Scrobicularia plana* (Lameijinha/Lambujinha).

4.1.4. Fase 4

De 4.2 a 2.8 m de profundidade (-1.43 a -0.03 n.m.a.m.), documenta-se uma sedimentação muito fina, de silte argiloso de cor cinzento-azulada. Registam-se menos fragmentos de conchas de moluscos marinhos, e quando aparecem são pequenos e estão muito isolados, correspondendo a maioria ao bivalve *Scrobicularia plana* e ao gastrópode de tamanho milimétrico *Hydrobia ulvae*. Documentam-se restos vegetais pequenos (<1 cm de comprimento) e isolados (Fig. 12).

4.1.5. Fase 5

De 2.8 a 2.5 m de profundidade (-0.03 a +0.27 n.m.a.m.) observa-se sedimentação igualmente fina, de silte argiloso e de cor cinzenta azulada, mas nesta fase começam a aparecer veios alaranjados produzidos pelas raízes de plantas aquáticas, que introduzem oxigénio num sedimento depositado em condições redutoras. Não se documenta malacofauna, mas sim restos vegetais nesta fase (Fig. 13).



Figura 12 – Sedimentos da Fase 4.



Figura 13 – Sedimentos da transição entre a Fase 4 (à direita) e a Fase 5 (à esquerda).

4.1.6. Fase 6

De 2.5 a 1.76 m de profundidade (+0.27 a +1.01 n.m.a.m.), regista-se um sedimento igual à fase anterior (silte argiloso), mas aumentando os veios oxidantes em proporção inversa à profundidade, até o sedimento atingir uma cor castanha com veios alaranjados e acinzentados.

4.1.7. Fase 7

De 1.76 a 1.53 m de profundidade (+1.01 a +1.24 n.m.a.m.) documenta-se silte argiloso de cor castanha com pedras de 2-3 cm de diâmetro (calcário anguloso) e argamassa até 1.7 m de profundidade. Por baixo da argamassa registam-se também pedras (arenito e calcário).

4.1.8. Fase 8

De 1.53 m de profundidade (+1.24 n.m.a.m.) até a superfície (+2.77 n.m.a.m.), regista-se entulho do século XXI, proveniente da demolição de estruturas do Cineteatro António Pinheiro, realizada no decurso de intervenções de obra em 2019. Os fragmentos maiores deste entulho foram retirados com uma máquina giratória de grandes dimensões e britados, embora alguns pedaços grandes tenham ficado no terreno.

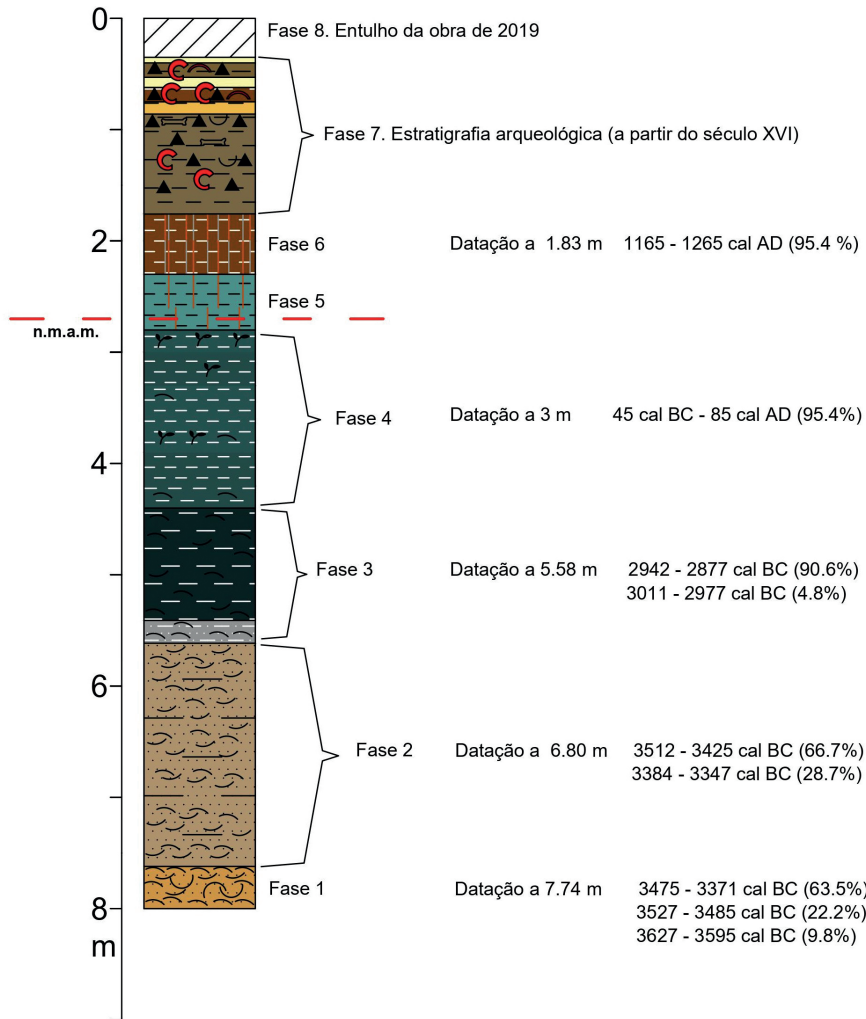
4.2. Interpretação da estratigrafia-tipo

A estratigrafia documentada começa com um contexto de sedimentação de energia média-alta, correspondente à Fase 1 (-5.23 a -5.08 n.m.a.m.), exposto às correntes marinhas, como indicam as areias médias e os fragmentos grandes de conchas marinhas: *Cardiidae* (família dos berbigões), *Ostreidae* (família das ostras), e *Ruditapes decussatus* (Amêijoia boa). Também são muito abundantes as conchas do gastrópode de pequeno tamanho *Bittium reticulatum* e, em muito menor número, de *Hydrobia ulvae*. A datação radiocarbónica de fragmentos de carvão vegetal recolhidos na perfuração CTT-11 a 7.74 m de profundidade (-5.18 n.m.a.m.) forneceu um resultado mais provável entre 3475 - 3371 Cal BC (63.5%) (meados do IV milénio a.C.)

Nesta Fase 1 a malacofauna é composta quase exclusivamente por fragmentos, sendo as espécies mais abundantes as pertencentes à família *Cardiidae*, que provavelmente correspondem aos

géneros *Cerastoderma* e *Parvicardium*. Também são muito numerosos os fragmentos da família *Ostreidae*, os quais, devido ao seu tamanho, constituem uma parte importante do sedimento. As espécies *Ruditapes decussatus/Venerupis corrugata* (Amêijoia boa/Amêijoia macha) são igualmente abundantes em termos de número mínimo de indivíduos, mas não em termos de número de fragmentos, que é inferior.

ESTRATIGRAFIA-TIPO



LEGENDA

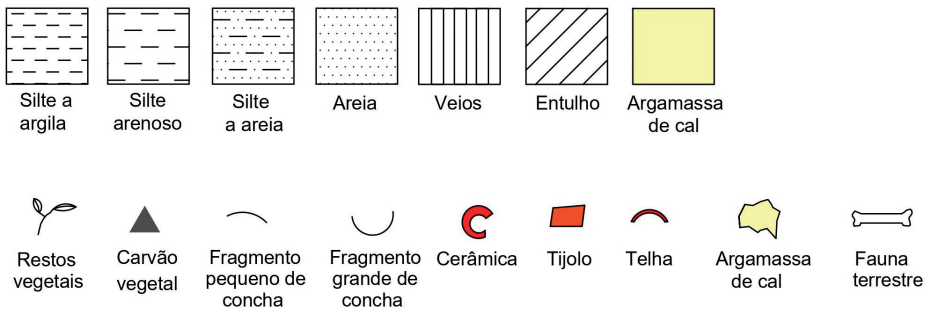


Figura 14 - Estratigrafia-tipo.

Para o início desta **Fase 1**, a profundidade mínima de água na área (com as marés baixas mais extremas) seria de 3.64 m e a profundidade máxima de água (com as marés cheias mais extremas) seria de 7.24 m. Com uma maré cheia média de 2 m (altura referida ao zero hidrográfico), a profundidade de água para esta época na área seria de 5.44 m.

Na **Fase 2** (-5.08 a -2.59 n.m.a.m.) esta área começa a estar mais protegida das correntes marinhas, seguramente devido à formação incipiente de ilhas-barreira, o qual se vê refletido na reduzida percentagem de silte nos sedimentos desta fase. A cor predominantemente oxidante indicaria um contexto de sedimentação ainda movimentado.

A datação por AMS para esta **Fase 2**, realizada sobre matéria vegetal recolhida a 6.8 m de profundidade (-4.24 n.m.a.m.) na perfuração CTT-11, forneceu uma data mais provável (66.7%) de 3512 - 3425 cal BC (meados do IV milénio a.C.). A sobreposição parcial desta datação com a realizada para a Fase 1 pode indicar a re-deposição do sedimento num contexto de energia média-alta.

Para o início desta **Fase 2**, a profundidade mínima de água na área (com as marés baixas mais extremas) seria de 3.28 m e a profundidade máxima de água (com as marés cheias mais extremas) seria de 6.88 m. Com uma maré cheia média de 2 m (altura referida ao zero hidrográfico), a profundidade de água para esta época na área seria de 5.08 m.

Com a **Fase 3** (-2.59 a -1.43 n.m.a.m.), a área em estudo altera-se para um ambiente já bastante protegido das correntes, composta predominantemente por silte, embora com areia fina, que indica que esta parte do paleoestuário ainda não está totalmente fechada à influência das correntes. A cor totalmente redutora (cinzento escuro quase preto) indicaria condições de sedimentação em águas tranquilas, com muito pouco oxigénio e possivelmente muita matéria orgânica.

As espécies de moluscos documentadas nesta **Fase 3** são típicas de estuários protegidos e com grandes oscilações na salinidade das águas: os bivalves da espécie *Scrobicularia plana* (Lameijinha/Lambujinha) e da família *Cardiidae* (muito menos numerosos), assim como o gastrópode de tamanho milimétrico *Hydrobia ulvae*. A datação por AMS para o início desta **Fase 3**, realizada sobre carvão vegetal recolhido a 5.58 m de profundidade na perfuração CTT-5 (-2.74 n.m.a.m.), forneceu uma data de 2942 - 2877 cal BC (início do III milénio a.C.).

Para o início desta **Fase 3**, a profundidade mínima de água na área (com as marés baixas mais extremas) seria de 0.79 m e a profundidade máxima de água (com as marés cheias mais extremas) seria de 4.39 m. Com uma maré cheia média de 2 m (altura referida ao zero hidrográfico), a profundidade de água para esta época na área seria de 2.59 m.

A **Fase 4** (-1.43 a -0.03 n.m.a.m.) é característica de uma lagoa litoral muito protegida das correntes e com muito pouca comunicação com o mar, como indicam os sedimentos finos (siltos argilosos) documentados. A cor redutora (cinzento azulado) indicaria um ambiente sedimentário permanentemente inundado de águas muito tranquilas. Para esta fase a barreira arenosa litoral já estaria completamente formada, além de outros possíveis bancos dentro da lagoa e/ou paralelos ao rio Gilão.

Nos sedimentos desta **Fase 4** a malacofauna documentada é praticamente composta só por *Scrobicularia plana* e *Hydrobia ulvae*, indicando um contexto salobre com grandes variações de salinidade. A datação por AMS para um momento avançado desta fase forneceu uma data de 45 cal BC - 85 cal AD (95.4%) (meados do século I a.C.- final do século I d.C.), a partir de uma amostra de carvão vegetal da perfuração CTT-1, recolhida a 3 m de profundidade (-0.39 n.m.a.m.). A profundidade mínima de água para a época romana na área seria 0 m com as marés baixas mais extremas (ficaria a 1.41 m por cima da linha de maré baixa) e a profundidade máxima de água (com as marés cheias mais extremas) seria de 2.19 m. Com uma maré cheia média de 2 m (altura referida ao zero hidrográfico), a profundidade de água para esta época no local seria de 0.39 m.

Para o início desta **Fase 4** a profundidade mínima de água na área (com as marés baixas mais extremas) seria de 0 m (ficaria a 0.37 m por cima da linha de maré baixa) e a profundidade máxima de água (com as marés cheias mais extremas) seria de 3.23 m. Com uma maré cheia média de 2 m (altura referida ao zero hidrográfico), a profundidade de água para esta época no local seria de 1.43 m.

A **Fase 5** (-0.03 a +0.27 n.m.a.m.) e a **Fase 6** (+0.27 a +1.01 n.m.a.m.) correspondem à transição entre condições aquáticas e terrestres, típica de um sapal, parcialmente exposta à atmosfera mas ainda sob a influência das marés. O elemento mais característico deste contexto sedimentário são os veios alaranjados dentro da matriz cinzenta, produzidos pelo oxigénio introduzido pelas raízes

das plantas aquáticas. Na **Fase 5** a cor do sedimento é predominantemente reductora (cinzenta) com veios alaranjados, sendo predominantemente oxidante (castanha) com veios cinzentos e alaranjados na **Fase 6**, evidenciando uma exposição à atmosfera cada vez mais frequente e duradoura.

A amostra analisada por AMS para a **Fase 5**, recolhida na perfuração CTT-15, a 2.7 m de profundidade (-0.06 n.m.a.m.), forneceu uma data mais provável de 556 - 402 cal BC (74.9%) (meados do século VI a.C. – final do século V a.C.), pelo que deve corresponder ao material erodido da cidade fenício-púnica depois do abandono de Tavira a partir do início da época romana e não à época de sedimentação correspondente à **Fase 5**.

Para a **Fase 6** temos uma datação por AMS, realizada sobre carvão vegetal recolhido na perfuração CTT-5 a 1.83 m de profundidade (+1.01 n.m.a.m.), que forneceu uma data de 1165 - 1265 cal AD (meados do século XII – meados do século XIII).

Entre a **Fase 6** (sapal) e a **Fase 7** (estratigrafia arqueológica) documenta-se em várias perfurações uma **Fase 6B**, composta por silte argiloso castanho, correspondente aos sedimentos aluviais do rio Gilão. A potência máxima desta **Fase 6B** é de 0.5 m aproximadamente.

A **Fase 7** corresponderia à estratigrafia arqueológica preservada por baixo do entulho (**Fase 8**) proveniente das demolições efetuadas no extremo sul do Cineteatro António Pinheiro.

4.3. Estratigrafia arqueológica

Em relação à estratigrafia arqueológica documentada, temos que diferenciar duas zonas totalmente distintas: o interior e o exterior do Cineteatro António Pinheiro.

4.3.1. Zona situada no interior do Cineteatro António Pinheiro

Nesta zona foram realizadas 10 perfurações (CTT-1, CTT-2, CTT-3, CTT-4, CTT-5, CTT-6, CTT-7, CTT-8, CTT-9 e CTT-10), documentando-se uma potência máxima de entulho, proveniente das demolições das estruturas pertencentes ao Cineteatro António Pinheiro, com 2.3 m e uma estratigrafia arqueológica conservada, entre o entulho e os sedimentos aluvio-estuarinos, entre 0.13 e 0.23 m. Não se regista estratigrafia arqueológica preservada em 6 perfurações (CTT-3, CTT-4, CTT-6, CTT-7, CTT-9 e CTT-10).

A exceção é constituída pela CTT-1, onde foi registada uma possível estratigrafia arqueológica de 1.1 m de potência, composta por sedimentos arenosos e siltosos com fragmentos de argamassa e cerâmica de cozedura oxidante. Nos estratos arqueológicos das perfurações desta zona, compostos fundamentalmente por silte arenoso castanho, registam-se escassos fragmentos cerâmicos, assim como fragmentos de material construtivo (telhas, tijolos, argamassa de cal e areia). Os fragmentos cerâmicos são fabricados a torno com pastas frequentemente amareladas e podem ser enquadrados em cronologias de Época Medieval ou Moderna, embora não seja possível precisar com maior exatidão esta datação.

4.3.2. Zona situada no exterior do Cineteatro António Pinheiro

Esta zona está limitada ao terço sudeste da área em estudo, com a exceção do canto este do terreno, ocupado pelo estaleiro da obra.

Nesta zona foram realizadas 5 perfurações (CTT-11, CTT-12, CTT-13, CTT-14 e CTT-15), documentando-se uma potência máxima de entulho com 0.85 m, assim como os estratos arqueológicos de maior potência na área em estudo: 0.5 m na CTT-11, 1.76 m na CTT-12, 1.62 m na CTT-13, 1.56 m na CTT-14 e 1.38 m na CTT-15. Aliás, foram detetadas estruturas arqueológicas consistentes em camadas de argamassa de cal e areia correspondentes muito provavelmente a pavimentos.

Na perfuração CTT-11 foi registado um tijolo de 2 cm de espessura (tipo Santa Catarina) sobre uma camada de argamassa de cal e areia com 10 cm de espessura, situada entre 1 e 1.35 m de profundidade (provavelmente a camada de argamassa chega só até 1.12 m de profundidade,

mas terá escorregado um pouco dentro da sonda de perfuração). Consideramos que o tijolo e a argamassa associada correspondem muito provavelmente a um pavimento.

Na CTT-12 aparece outra camada de argamassa de cal e areia entre 0.44 e 0.5 m de profundidade, embora sem certeza de que corresponda a um pavimento, assim como uma base de uma forma fechada de cerâmica a torno a 1 m de profundidade, provavelmente de cronologia medieval-moderna.

A CTT-13 registou duas camadas de argamassa de cal e areia que aparentam pertencer a pavimentos, a mais recente entre 0.35 e 0.4 m de profundidade (o entulho de 2019 acaba a 0.3 m de profundidade) e a mais antiga entre 0.53 e 0.62 m de profundidade. Entre estas duas camadas de argamassa documenta-se uma carena de escudela vidrada a branco estanífero nas duas faces, datável dos séculos XVI-XVII (Fig. 15). Por baixo da camada de argamassa mais antiga ainda foram documentados estratos arqueológicos até 1.92 m de profundidade, onde começam os sedimentos aluviais. É de destacar o estrato documentado entre 0.86 e 1.35 m de profundidade, onde se registam vários fragmentos cerâmicos (um bordo e duas asas) a torno de cozedura oxidante com engobes laranjas, alguns brunidos, correspondentes provavelmente a jarrinhas de cerâmica de tipo Estremoz, datáveis de Época Moderna, com cronologias partir do século XVI.



Figura 15 – Carena de escudela vidrada em branco dos séculos XVI-XVII.

Na CTT-14 não se registam estruturas, com a exceção de uma camada de argamassa entre 0.77 e 0.8 m de profundidade, de características indeterminadas. Esta camada coincidiria na cota (mas não em espessura) com outra camada documentada na CTT-15 entre 0.71 e 0.81 m de profundidade. A CTT-14 é onde se regista a estratigrafia arqueológica mais profunda, chegando a 2.3 m de profundidade. A estratigrafia arqueológica vai descendo de profundidade de Nordeste (1.35 m em CTT-11) para Sudoeste (2.3 m de CTT-14).

Na CTT-15, localizada a 5.67 m a Nordeste da CTT-14, a estratigrafia arqueológica atinge 1.78 m de profundidade, aparecendo camadas de argamassa de cal e areia de 0.6 a 0.65 m e de 0.71 a 0.81 m de profundidade, embora tenhamos dúvidas sobre a sua efetiva correspondência a pavimentos. Entre as duas camadas de argamassa regista-se um estrato com fragmentos de tijolos, cerâmica de cozedura oxidante, cinzas e fragmentos de carvão vegetal. Entre 0.9 e 1 m documenta-se um fragmento de cerâmica de pasta amarela.

5. Considerações Finais

Os dados procedentes das intervenções arqueológicas realizadas nas imediações do espaço em análise são coincidentes com a informação constante da documentação cartográfica histórica, isto é, o espaço em questão regista acentuado crescimento urbano no decurso do século XVI.

Nesta área, a cartografia histórica mostra a existência do Largo da Corredoura e imediatamente em frente, a igreja de São Pedro Gonçalves Telmo ou das Ondas, cuja construção se inicia por volta de 1530.

Considerando a cartografia histórica disponível para a área em análise, é possível que os contextos identificados como pisos de circulação encontrem correspondência nos espaços públicos de circulação existentes nos inícios da Época Moderna.

Os estratos arqueológicos passíveis de serem associados a espaços habitacionais correspondem, maioritariamente, a contextos de deposição secundária (níveis de lixeira e/ou aterro). Os materiais cerâmicos provenientes desses estratos, e dos restantes contextos, ainda não foram alvo de um estudo sistemático, pelo que a informação cronológica que poderíamos obter, relativamente à ocupação do espaço, é limitada.

Os dados resultantes, em específico da perfuração CTT-13, permitem considerar a existência de níveis de aterro, prévios à construção de edifícios, presumivelmente modernos. Sobre estes, e entre duas camadas de argamassa, regista-se um fragmento de escudela, datável dos séculos XVI-XVII. Sob estes estratos, os fragmentos cerâmicos indiciam estarmos em presença de contextos de Época Moderna.

Os dados procedentes das perfurações geoarqueológicas não revelaram a presença de cerâmica anterior à Época Moderna.

Tendo em conta os dados atrás mencionados podemos equacionar a hipótese de que o espaço onde se implantou o Teatro Popular e, posteriormente, o Cineteatro António Pinheiro indicia uma ocupação histórica de Época Moderna.

Com base nos dados estratigráficos obtidos nas 15 perfurações geoarqueológicas realizadas pela equipa da ARKHAIOS, coordenada por Daniel Barragán Mallofret, na área do Cineteatro António Pinheiro, em Tavira, e de acordo com os resultados das 6 datações de Carbono 14 por AMS, podemos fornecer as seguintes conclusões em relação ao processo de assoreamento e à ocupação humana do terreno prospectado.

A área em estudo foi inundada aquando da subida do nível do mar pós-glacial, que atingiu o seu máximo *circa* 6500 BP (meados do V milénio a.C.) na Transgressão Holocénica ou Flandriana, formando-se uma pequena baía na foz do rio Gilão.

Na fase mais antiga documentada nas nossas perfurações (**Fase 1**), a aproximadamente 8 m de profundidade (-5.44 n.m.a.m.), a área ainda se encontrava exposta às correntes marinhas, sedimentando-se areias com abundantes fragmentos de conchas.

Paulatinamente, a sedimentação mais fina vai indicando um ambiente um pouco mais protegido das correntes e mais fechado à influência do mar (**Fase 2**), como consequência, muito provavelmente, da formação incipiente de barreiras arenosas que separam este espaço do mar.

Tanto o final da **Fase 1** (3475 - 3371 cal BC) como a **Fase 2** (3512 - 3425 cal BC) foram datadas por Carbono 14 (técnica AMS) em meados do IV milénio a.C. A sobreposição parcial de ambas as datações pode indicar a re-sedimentação dos materiais num contexto dinâmico e exposto às correntes.

Numa fase mais avançada do processo de assoreamento, entre 5.55 e 2.55 m de profundidade (-2.81 a +0.06 n.m.a.m.), documenta-se uma situação de lagoa litoral de águas muito tranquilas e com pouca comunicação com o mar. O processo de assoreamento vai avançando até formar um sapal parcialmente exposto à atmosfera mas ainda sob a influência das marés, documentado entre 2.55 e 1.35 m de profundidade. (+0.06 a +1.21 n.m.a.m.).

O início da fase de lagoa litoral (**Fase 3**), quando ainda não estava totalmente fechada às correntes marinhas, foi datado por Carbono 14 (técnica AMS) no início do III milénio a.C. (2942 - 2877 cal BC).

A fase avançada desta lagoa (**Fase 4**), já totalmente fechada e com a cota de sedimentação (-0.39 m) próxima do nível médio do mar actual, está datada por Carbono 14 (técnica AMS) na Época Romana, entre meados do século I a.C. e finais do século I d.C. (45 cal BC - 85 cal AD).

É provável que o nível médio do mar estivesse um pouco mais elevado na época alto-imperial romana, como foi documentado na baía de Cádiz (0.5 m mais alto, segundo GRACIA et al., 2000).

Na fase inicial do sapal (**Fase 5**), de transição entre condições aquáticas e terrestres, a amostra analisada por Carbono 14 (técnica AMS) forneceu uma datação calibrada mais provável de 556 - 402 cal BC (meados do século VI a.C. - final do século V a.C.), pelo que deve corresponder a material da cidade fenício-púnica erodido e redepositado durante o período de abandono de Tavira entre a Época Romana e a Época Islâmica e não à época de sedimentação da Fase 5.

A fase final do sapal, já predominantemente terrestre e exposta à atmosfera (**Fase 6**), foi datada por AMS na Idade Média, entre meados do século XII e meados do século XIII d.C. (1165 - 1265 Cal AD).

Em algumas perfurações preserva-se também uma fase aluvial (**Fase 6B**) de escassa potência (no máximo de 0.5 m) por cima da fase de sapal, que corresponderia já a sedimentos de um contexto terrestre totalmente exposto à atmosfera.

Os estratos arqueológicos, quando estão preservados, assentam normalmente sobre a fase aluvial, estando ausentes em 6 perfurações da zona interior do edifício do Cineteatro António Pinheiro, provavelmente afetados pelas fundações do mesmo ou do Teatro Popular. Nesta zona, a

potência dos estratos arqueológicos é muito reduzida, entre 0.13 e 0.23 m (com a exceção de CTT-1, com 1.1 m) documentando-se escassos materiais arqueológicos, pouco significativos. A cronologia presumível destes estratos dentro do edifício seria de Época Moderna.

Na zona situada fora do edifício a estratigrafia está mais preservada, atingindo uma potência variável entre os 0.5 m e os 1.76 m, assim como uma profundidade variável entre os 1.35 e os 2.3 m.

Temos que salientar a deteção de prováveis pavimentos com preparação de argamassa de cal e areia nas perfurações CTT-11 (entre 1 e 1.35 m de profundidade) e CTT-13 (de 0.3 a 0.35 m e de 0.53 a 0.62 m de profundidade). A camada de argamassa mais antiga desta perfuração será anterior aos séculos XVI-XVII, com base no achado de um fragmento de escudela desta cronologia na camada que a cobre. Por baixo desta camada de argamassa documentam-se fragmentos cerâmicos de provável cronologia de Época Moderna (cerâmica possivelmente de tipo Estremoz), que a datariam provavelmente no século XVI.

Nas perfurações CTT-12, CTT-14 e CTT-15 documentam-se também camadas de argamassa entre 0.44 e 0.81 m de profundidade, embora nestes casos se considere menos provável que correspondam a pavimentos, devido ao seu grau de degradação.

Devemos ainda destacar que não foram detetados vestígios de destroços de barcos nem de cais ou de outras estruturas relacionadas com uma funcionalidade portuária.

Bibliografia

- Arruda, A. M., Covaneiro, J., e Cavaco, S. (2008). A necrópole da Idade do Ferro do Convento da Graça, Tavira. In *Actas do 5º Encontro de Arqueologia do Algarve, Silves 25 a 27 de Outubro de 2007* (pp. 117-135). Xelb 8: I. Silves, Câmara Municipal de Silves.
- Candeias, C. (2016). Auscultando as Fronteiras da Turdetânia: Repertórios Cerâmicos da II Idade do Ferro Provenientes do Sítio do BNU em Tavira, Algarve, Portugal. In *Atas da Mesa Redonda A Turdetânia e os Turdetanos* (pp. 160-177). Cadernos do Museu da Lucerna 2. Castro Verde, Museu da Lucerna – Cortiçol.
- Gracia, F. J., Alonso, C., Gallardo, M., Giles, F., Benavente, J., e López-Aguayo, F. (2000). Evolución eustática postflandriense en las marismas del Sur de la Bahía de Cádiz. *Geogaceta*, 27, 71-74.
- Mantas, V. (2003). A cidade de Balsa. In *Tavira. Território e Poder* (pp. 85-94). Lisboa, Câmara Municipal de Tavira; IPM, Museu Nacional de Arqueologia.

